

# 碎波帯における岸沖方向の物質拡散に関する研究

三村信男\*・池谷毅\*\*・堀川清司\*\*\*

## 1. 緒 言

碎波帯における拡散現象の解明は沿岸海域の水質を論じる上で重要な課題の一つである。この現象は沿岸方向と岸沖方向の2つの過程に分けて取り扱われてきた。本研究はこのうち岸沖方向の物質拡散を対象として取り上げその機構の解明を目的としたものである。

この課題に関しては、従来の研究の多くが現地海浜において染料の拡散過程を観測するという手法で行なわれており、解析にあたっては現象が水深方向に一様という仮定がおかれていた<sup>1)</sup>。筆者らも同様の研究を進めてきたが<sup>2)</sup>、現地観測によって染料の拡散が碎波の通過に強く依存しているという示唆を受け、物質拡散と碎波帯の流速場との相関や現象の水深方向の差異に対して検討を加える必要があると感じてきた。本研究は、そのため所を実験室に移し、二次元造波水槽を用いて詳細な物質拡散の観察と流速の測定を行なったものである。

本研究で取り扱った実験の条件は広い範囲に及んではいない。二次元造波水槽を用いたことから、沿岸方向に現象の一様な二次元的な碎波帯を対象としたものになっている。また、碎波形式としても崩れ波の場合に限られるが、詳細な観測に基づいてこうした条件下における物質の拡散機構に対する定式化を試みた。

## 2. 実験の概要

本研究では、大別して次の2種類の実験を行なった。第一は、トレーサーを用いた碎波帯における物質の拡散現象の観察であり、第二は、それを支配する流速場の測定である。各々の実験の内容は後で紹介する。

実験には、図-1に示すような長さ23m、幅80cmの二次元造波水槽を用いた。この水槽の一端に1/30の一様勾配斜面を設置し規則波を作用させて碎波帯を現出させた。沿岸方向の一様性を保つために碎波帯内外4mの区間を二つに仕切り、実験には幅20cmの区間を使用した。

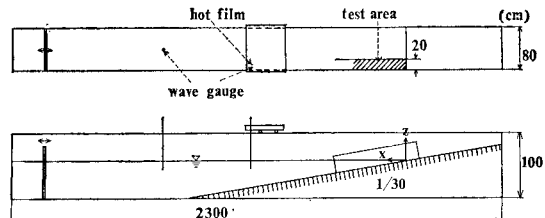


図-1 実験装置模式図

表-1 実験の条件と項目

CASE	I	II	III	IV	V
一様水深部 ( $H_i$ ) cm	2.2	4.5	4.3	2.9	2.1
周 期 ( $T$ ) s	1.25	1.25	1.00	1.00	0.83
換算沖波形 ( $H_0/L_0$ )	0.01	0.02	0.03	0.02	0.02
碎波帯の幅 ( $x_b$ ) cm	110	210	180	115	90
染 料 拡 散	○	○	○	○	○
塩水の濃度分布の測定		○			
流 速 测 定	○		○	○	

(○印は実験を行なったことを示す)

実験は、表-1に示すように波高と周期を変化させ合計5ケース行なった。もっとも詳細な観測を行なったのは碎波帯の幅をもっとも大きくとれたCASE IIの場合である。したがって、実験結果の報告はCASE IIを中心に行なう。これら全ての実験ケースに対して一様水深部の水深は一定に保ち、35.2cmとした。また、碎波形式は全て崩れ波型であった。

## 3. 碎波帯における岸沖方向の物質拡散

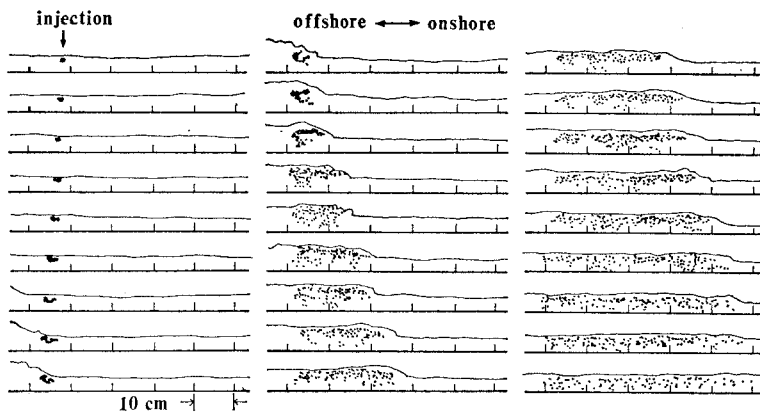
### 3.1 観測方法

最初に碎波帯における拡散現象の観測方法について述べる。まず、現象を詳細に観察するために染料(ウォーターブルー)溶液を投入し、その広がりを8mmフィルムに撮影した。全ての実験ケースについて、投入点は碎波帯を4等分し岸側1/4、中央、沖側1/4の3地点とした。水深方向の現象の差異を見るため、投入位置を表層と底層とに分けて実験をくり返した。8mmフィルムの撮影の際には、水路側面に大鏡を置き同一の画面上に上方から見た状況と側面の状況が同時に写し込まれるようにした。

\* 正会員 工博 東京大学助手 工学部土木工学科

\*\* 学生会員 東京大学大学院 土木工学科

\*\*\* 正会員 工博 東京大学教授 工学部土木工学科

図-2 染料の拡散 (CASE II, 投入点  $x=190$  cm, 各図の間隔は 1/24 秒)

染料をトレーサーとした観察では現象を量的には把握できない。そこで、CASE IIだけではあるがトレーサーとして塩水を投入し岸沖方向の濃度分布を継続的に測定した。塩分濃度の測定には抵抗式濃度計を用い、測点は岸沖方向の 14 地点に配置した。この実験における投入は、碎波帯中央に設けた投入点の水面から塩水を水中に一挙に噴出させる、いわゆる面投入方式をとった。また、濃度計の検出部は常に全水深をカバーしていたので本実験では水深方向に積分された塩分濃度が測定されたといえる。

### 3.2 観測結果

染料をトレーサーとして用いた実験から物質の拡散過程の特徴が明瞭に把握された。碎波帯における拡散現象におけるもっとも大きな特徴は、表層に投入された場合と底層に投入された場合とで染料の広がり方に大きな差異が存在することである。その状況の代表例を図-2 および図-3 に示し、以下説明を加える。

#### (1) 表層投入の場合

図-2 は波のトロフの位相に投入された染料が碎波 1

波の通過によって広がる状況を側面から写し取ったものである。この図からもわかる通り、表層における染料の拡散は碎波の通過に直接的に関連している。

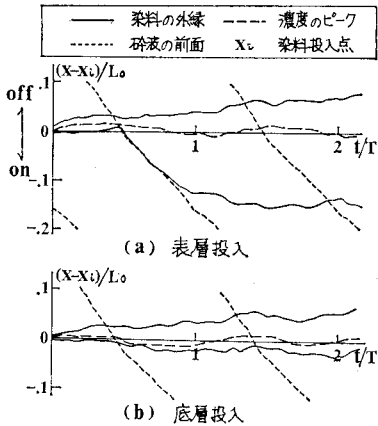
表層に投入された染料は、碎波前線に出会いうまで徐々に沖側に移動する。碎波前線に出会いうと染料は急激に碎波上部にまきこまれ、さらに碎波の進行に伴ない水面に薄く引き伸ばされる。図-3 は染料雲の広がりの時間変化を示したものであるが、(a) に見られる通り表層における岸向きの広がりの速さは 1 波目の碎波ではほぼ波速と等しい大きさを持っている。水深方向の染料の混合は岸向きの伸長にやや遅れて生じるが、一波目の碎波の通過では完全には混合されず、完全に混合されるためにはさらに数波の碎波の通過が必要であった。

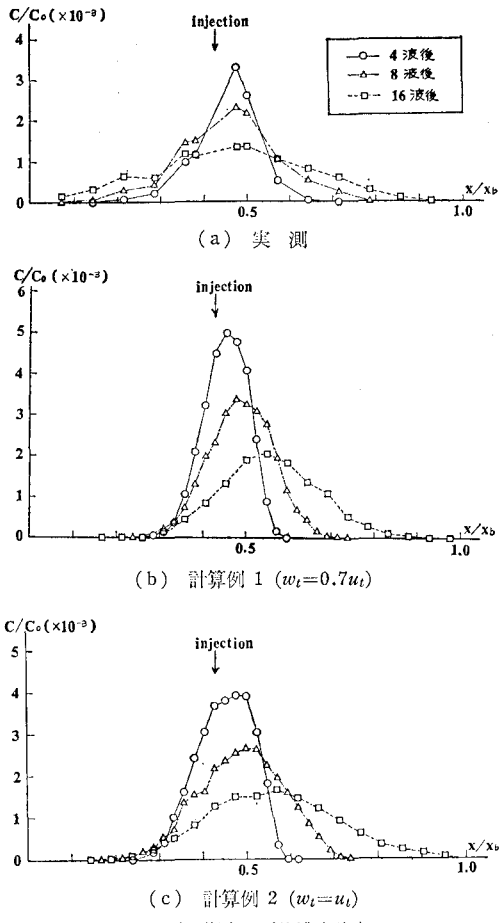
#### (2) 底層投入の場合

図-3 (b) にみられる通り底層に投入された染料の広がりは碎波の通過にはさほど影響を受けない。染料雲は波の位相に対応して前進後退をくり返しながら全体としては徐々に沖向きに移動する。ただし、碎波通過時に底面の染料がまき上げられ混合作用を受けるという現象もみられた。

以上のような表層と底層における現象の差異は、各々の場所における流体運動の特性によっていると考えられる。即ち、表層では碎波に伴って岸向きの質量輸送と強い乱れが生じており、底層では逆に沖向きの流れが生じていると推測される。それを確かめるために詳細な流速測定を行なったが、これに関しては次節で述べる。

次に、図-4 (a) に塩水を投入して測定した岸沖方向の濃度分布を示す。図中の塩分濃度は水深に関して平均された量であるが、拡散初期には沖側にピークを残し岸側により長く尾をひく分布形を示している。これに対して、Kraus と筆者らが水深方向に現象の変化がないと仮定して水深方向に積分された乱流拡散方程式を導き、それを解いて得た濃度分布形は今回の実験結果と逆の傾向を示している<sup>2)</sup>。このことからも、碎波帯における物質

図-3 染料の広がりの時間変化 (CASE II, 投入点  $x=90$  cm)



の拡散過程においては、上に述べたような水深方向の現象の差異が重要な役割を果しているといえる。

#### 4. 碎波帯における流速場の特徴

##### 4.1 測定方法

物質の拡散機構を明らかにするためには流速場の特性を把握する必要があるが、碎波帯における流速場に関してはその複雑さのために充分に理解されているとはいえない。そこで、染料拡散実験に対応する3ケースの条件を選んで碎波帯の流速場の詳細な測定を行なった。

流速の測定には熱膜流速計を用いた。受感部にはスプリットフィルム型センサーを採用した。スプリット型センサーは直交する2方向の流速成分を検出し、このうち1方向の流速については符号も検出するという特質を持っている。今回の測定では岸沖方向の水平流速( $u$ )の符号が検出されるようにセンサーを設置した。

測定点としては、碎波帯に15cm毎に測線を設け各測線上に4~12点の測点を配置した。碎波帯の幅がもっと大きいCASE IIでは測点数は131点にのぼった。表層における流速場を知るためにもっとも位置の高い測点

は静水面より1cm上方に置かれている。この測点をはじめ波のトロフの水面より上方に位置する測点ではセンサーが空中に露出する瞬間が生じる。このため熱膜の設定温度を下げて流速を測定するとともに、データ解析にあたってはセンサーが空中出入りする瞬間のデータを除き充分水中にある期間のデータだけを用いた。

各測点毎に26波分の流速データを用いて位相平均流速を求め、それからの偏差を乱れと定義した。さらに位相平均流速の1周期平均をとって定常流成分を求めた。これらの流速の定義を以下に示す。

$$u = \bar{u} + u' \quad (\bar{\phantom{u}} \text{は位相平均を表わす}) \dots \dots \dots (1)$$

$$\bar{u} = \overline{\bar{u}} + u'' \quad (\overline{\phantom{u}} \text{は1周期間の平均を表わす}) \dots \dots \dots (2)$$

ここで、 $u$ : 岸沖( $x$ )方向の水平流速、 $\bar{u}$ : 岸沖方向の位相平均流速、 $u'$ : 岸沖方向の流速の乱れ成分、 $\overline{\bar{u}}$ : 岸沖方向の流速の定常流成分、 $u''$ : 岸沖方向の流速の波動成分であり、乱れの強さは  $\sqrt{u'^2}$  で表わすものとする。

熱膜流速計の出力としては流速の鉛直成分( $w$ )も測定されたが、方向が判定できず精度も落ちるので本論文では触れない。

#### 4.2 測定結果

流速の測定は3つのケースについて行なったが、もともと多くの測点が配置されているCASE IIの結果を中心にして碎波帯における流速場の特徴を述べる。

図-5に位相平均流速の空間分布の例と定常流成分の空間分布を示す。ここで定義した定常流成分はオイラー流速の時間平均量であるため、(b)では平均水位より上方におよ流速が存在するという表示になっている。

さて、位相平均流速をみると波の位相によって鉛直分布形が異なる。即ち、波のクロストの位相では表面層に岸向きの大きな流速が存在し、しかも表面からトロフのレベルまで強いシアーをもつた流速分布が形成されている。その下では底面付近までほぼ流速は一定となる。一方、トロフの位相では流速は全水深にわたって沖向きでその値はほぼ一定である。

図-5(b)をみると、碎波帯の全域でトロフの水面位置をつないだ線より上で岸向き、下で沖向きの定常流が存在している。この結果は、碎波帶において鉛直断面内に循環流が存在するという堀川らの指摘<sup>3)</sup>を裏づけるものである。物質の輸送過程との関連を考えた場合、重要なのはラグランジュ的な質量輸送であるが、碎波帶における質量輸送速度の分布は明らかではない。しかし、碎波帶が浅海域であり碎波が長波として近似しうることを考えれば、ラグランジュ的な質量輸送の分布も今回計測された定常流の分布と類似していると推測される。

次に、図-6に乱れの強さの空間分布の例及びその1周期平均を示す。(b)をみるとわかる通り、つっこみ点(P.P.)から岸側において碎波帯の沖側と異なる大きな乱

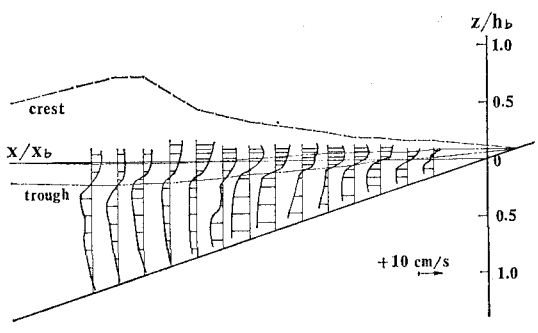
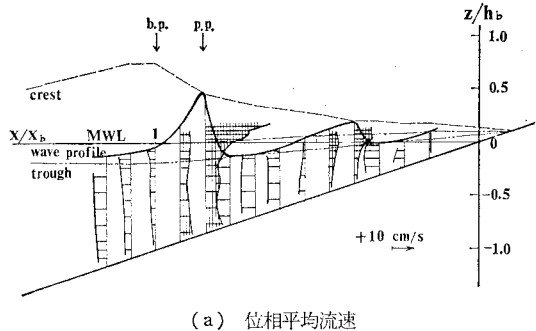


図-5 流速分布 (CASE II)

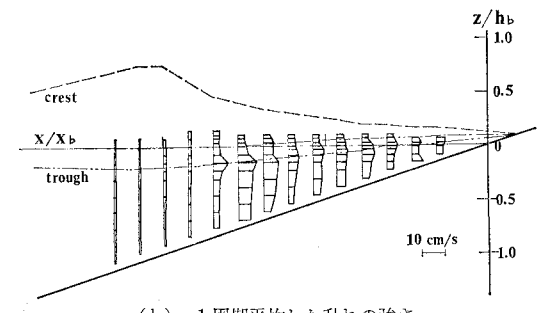
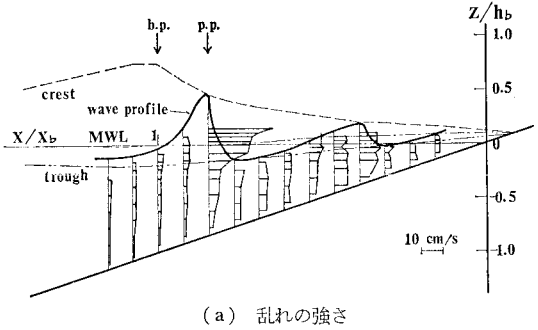
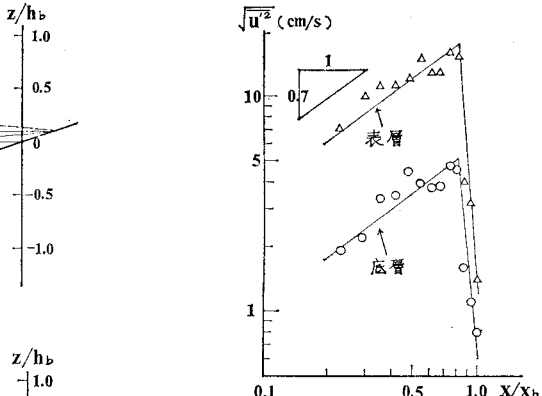


図-6 乱れの強さの分布 (CASE II)

れが存在している。図-6 (a) はいわば瞬間的な乱れの分布を示したものになっているが、これをみると碎波の波峯の表面付近でもっとも乱れが大きく、その沖側に徐々に値を小さくしながら乱れの大きい領域が広がっている。このことは、碎波の進行に伴って碎波前面で乱れが



生産され、それが碎波背面及び底層付近まで広がっていることを示している。

図-7 に乱れの強さの岸沖方向の分布を示す。従来碎波によって生じる乱れは、碎波の波高減衰に関連づけて取り扱われてきた。即ち、碎波の進行によって失なわれるエネルギーが乱れの運動エネルギーに変換され逸散されるとして見積られてきた<sup>4)</sup>。これによると、一様勾配斜面の場合には  $\sqrt{u'^2} \propto X^{0.5}$  ( $X$  は汀線から沖向きにとった距離) という関係が成り立つ。しかし、今回の実験では乱れの強さが CASE II では  $X^{0.7}$  (図-7), CASE IV, V では測線は少ないが  $X^{1.0}$  に比例するという結果が得られている。従来の取り扱いと今回の実験結果のかい離の理由は明らかではない。

## 5. 物質の拡散機構に対する検討

以上にみたような 2 種類の実験結果から、碎波帶における物質の拡散機構を流速場の特性に基づいて説明することができる。本研究で取り扱った、二次元的な碎波帶で崩れ波碎波が生じている場合における物質の拡散機構は次のようにまとめられる。

- i) 碎波帶における拡散現象は、流速場の特性に対応して、表層における岸向きの物質輸送、底層における沖向きの物質輸送及び鉛直方向の混合の 3 つの面から成っている。
- ii) 表層における拡散は、碎波の通過に直接関連している。表面付近では碎波の通過に伴なって岸向きの質量輸送が生じており、碎波前面では強い乱れが生産されている。表層に存在する物質は、碎波の前面にまきこまれ、この両者の作用によって表面付近を岸向きに長く引き伸ばされるように輸送される。
- iii) 碎波帶底層には、表層における岸向きの質量輸送を補償する沖向きの定常流が生じている。底層に存在する物質はこの流れによって沖向きに輸送される。乱れによる拡散は表層に比べ激しくない。

iv) 碎波によって生じる乱れは、表層と底層における逆向きの物質輸送過程の間で物質の交換を媒介し、鉛直方向の均一化を促す。従って、物質が投入されていくつかの碎波の通過を受けければ水深方向にほとんど濃度変化がなくなり、物質の拡散をいわゆる分散として扱いうる段階になると思われる。ただし、本研究では、初期の物質拡散を対象とし、分散への遷移時間等の検討は行なわなかった。

以上に述べた定式化の妥当性を確かめるために、モデル的な検討を試みた。

物質拡散をシミュレートするためにはまず流速場が与えられなければならない。しかし、碎波帶における流体運動は極めて複雑で、碎波、定常流、乱れといった現象を包括的に表現する取り扱いはない。そこで、今回の実験との対応をみることを目的として、流速測定の結果に基づいて流速場の現象的モデル化を行なった。

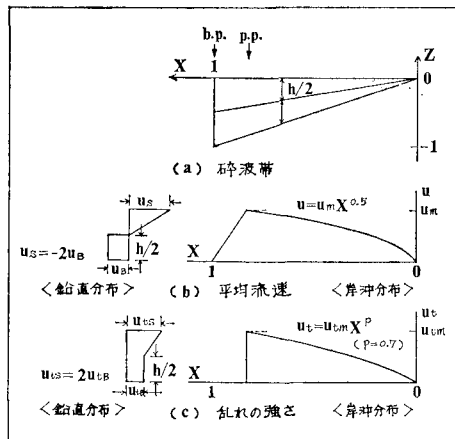


図-8 碎波帶の流速場のモデル

その模式図を図-8に示す。碎波帶は一様勾配の三角形断面で与える。これを水深方向に二等分し、表層と底層とした。水面変動は無視し、流体運動としても平均流と乱れだけを考慮した定常な流速場を考えた。この両者に対して、実測された分布形を単純化して、図-8(b)、(c)に示すような岸沖及び鉛直方向の分布を与えた。岸沖分布は、表層と底層に対して同一であるが、平均流は表層で岸向き、底層で沖向きであり、乱れの強さは表層の方が大きな値を与えられている。

物質拡散のシミュレーションにはモンテカルロ法を用いた。即ち、トレーサーとして粒子5 000個を投入し、時間ステップ毎の粒子の位置を式(3)、(4)によって計算して濃度分布を求めた。

$$X_i = X_{i-1} + \{u_{i-1} + u_{t,i-1} R_x\} \Delta t \quad \dots \dots \dots (3)$$

$$Z_i = Z_{i-1} + w_{t,i-1} R_z \Delta t \quad \dots \dots \dots (4)$$

ここで、 $X_i$ 、 $Z_i$ は各々*i*ステップにおける粒子の水平、鉛直座標、 $u$ は水平平均流速、 $u_t$ 、 $w_t$ は各々水平、鉛直方向の乱れの強さであり、 $R_x$ 、 $R_z$ は平均0.0、標準偏差1.0の正規乱数である。

モンテカルロ法を用いて乱流拡散をシミュレートする場合、乱れの階層構造に見合った複合乱数列を用いる必要がある<sup>5)</sup>が、碎波帶における乱れの構造が不明であるので今回の計算では単一の乱数列を用いている。

計算結果の一例を図-4(b)、(c)に示す。(b)は $w_t = 0.7u_t$ 、(c)は $w_t = u_t$ とした場合である。図はたて軸を無次元濃度( $C_0$ は初期濃度)にとって実測値と比較してあるが、ある程度よい一致を示している。この他にも、碎波の波速で強い乱れを持った領域が進む非定常な乱れの効果を入れたモデルも検討したが、結果はほぼ同様の傾向を示した。いずれにせよ、現象論的なモデルではあるが実測した濃度分布を説明したことからも、先に述べた碎波帶における物質の拡散機構に関する考察の妥当性が裏づけられる。

## 6. 結 語

二次元造波水槽において、詳細に物質拡散の状況を観察した。併せて、それを支配する碎波帶の流速場の測定を行なった。これらの実験から、表層における物質の拡散現象と底層のそれとでは大きな差異があること、表層における物質拡散には碎波の通過が強い影響を持っていることを見い出した。さらに、二次元的な碎波帶において崩れ波碎波が生じている場合の物質の拡散機構を、定性的ではあるが流速場の特性に対応させて考察した。

物質拡散を解明するためには、水域の流速場を知る必要がある。本研究を通して、複雑で興味深い碎波帶の流動場に対する研究を進める必要性を痛感する。

最後に、本研究は文部省科学研究費補助金奨励研究(A)から補助を受けたことを付記する。

## 参 考 文 献

- 1) 例えは、Inman, D. L., R. J. Tait and C. E. Nordstrom: Mixing in the surf zone, Jour. Geoph. Res., 76, pp. 3493~3514, 1971.
- 2) Kraus, N. C.・三村信男・堀川清司: 碎波帶付近における拡散係数の測定法に関する研究、第27回国海講論文集、pp. 173~177, 1980.
- 3) 堀川清司・砂村継夫・鬼頭平三・品川正典: 海浜変形に関する実験的研究(第一報)、第27回国海講論文集 II、pp. 95~98, 1972.
- 4) Battjes, J. A.: Modeling of turbulence in the surf zone, Proc. Symp. on Modeling Techniques, ASCE, pp. 1050~1061, 1975.
- 5) 日野幹雄: モンテカルロ法による乱流拡散の二、三の計算について、第9回国水理講演会講演集、pp. 67~72, 1965.